

## (مقاله پژوهشی)

## \* مطالعه پدیده‌شناسی پوش‌های هیدرولیکی چندضلعی\*

علی اسدی<sup>(۱)</sup>مجید ملک جعفریان<sup>(۲)</sup>علیرضا تیمورتاش<sup>(۳)</sup>

**چکیده** یکی از پدیده‌های مورد مطالعه دانشمندان در سال‌های اخیر، پدیده پوش هیدرولیکی چندضلعی است. حدود دو دهه از مشاهده این پدیده می‌گذرد، اما هنوز علت ایجاد و شکل‌گیری این پدیده نامعلوم است. هدف اصلی در این تحقیق مطالعه پدیده‌شناسی پوش‌های هیدرولیکی چندضلعی است. به همین منظور، این پدیده به روش آزمایشگاهی مورد مطالعه و بررسی قرار گرفت و نشان داده شد که علت شکل‌گیری پوش هیدرولیکی چندضلعی، حضور اختشاشات و ناپایداری‌های موجود در جریان، سیستم و یا محیط است. این ناپایداری‌ها بر اساس پدیده رایلی-پلاتو و در حضور اثرات کشش سطحی و لزجت، پوش هیدرولیکی دایروی پایدار را ناپایدار کرده و آن را به یک پوش چندضلعی تبدیل می‌کند. با حذف ناپایداری‌ها، پوش دایروی پایدار ایجاد گردید. این پوش بر خلاف نتایج محققان در کارهای قبلی از اعداد رینولدز کم تا اعداد رینولدز بالا پایدار است. همچنین در این تحقیق، رفتار پوش‌های هیدرولیکی چندضلعی که در کارهای قبلی و در حضور ناپایداری‌ها شکل گرفته‌اند، بررسی شد. در یک دبی ثابت، مساحت داخل پوش، برای همه پوش‌های ممکن، تقریباً با خطای کمتر از حدود ۱۰ درصد، برابر است. از بین چندضلعی‌های با تعداد اضلاع برابر که برای یک دبی خاص محتمل است، پوش به شکل چندضلعی منتظم درمی‌آید؛ زیرا به طور طبیعی، کثیش سطحی تلاش می‌کند تا کمترین سطح رویه ممکن را برای پوش ایجاد کند.

**واژه‌های کلیدی** پدیده‌شناسی؛ پدیده رایلی-پلاتو؛ پوش چندضلعی؛ چندضلعی منتظم؛ پوش دایروی پایدار.

## A Phenomenological Study of Polygonal Hydraulic Jumps

A. Asadi

M. Malek Jafarian

A.R. Teymourtash

**Abstract** Polygonal hydraulic jump is among the subjects widely studied by scientists in recent years. Although this phenomenon was discovered nearly two decades ago, many of the probable reasons behind it remain unknown. Accordingly, the main goal of the present study is to conduct a laboratory-scale phenomenological investigation on polygonal hydraulic jumps. The results indicated that the main cause of polygonal hydraulic jumps is the presence of disturbances and instabilities in flows, systems, or environments. Given the Plateau-Rayleigh instability, in the presence of surface tension and viscosity effects, the disturbances and instabilities create stable circular jumps unstable and then turn them into polygonal jumps. A stable circular jump was created with the elimination of instabilities, and the jump, unlike what observed in previous studies, was stable at a low to high range of Reynolds number. In addition, the behavior of polygonal hydraulic jumps formed in previous studies in the presence of instabilities was investigated. In a constant flow rate, the area inside the jump was equal for all the possible jumps at an error level of less than 10%. Among the polygons with an equal number of sides, which are possibly observed in a particular flow rate, the jump changes into a regular polygon, as the surface tension naturally tends to create the minimum possible surface area for the jump.

**Key Words** Phenomenology, Plateau-Rayleigh Instability, Polygonal Jump, Regular Polygon, Stable Circular Jump

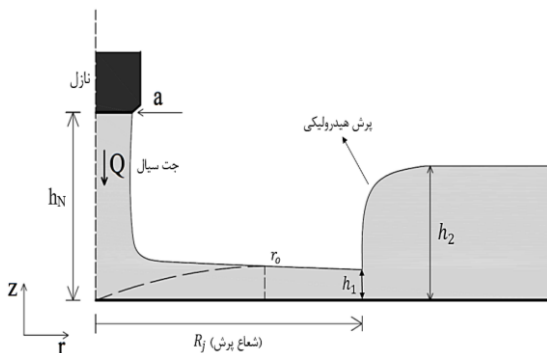
تاریخ دریافت مقاله ۹۸/۷/۶ و تاریخ پذیرش آن ۹۸/۹/۲۴ می‌باشد. \*

(۱) دانشجوی دکتری، گروه مهندسی مکانیک - تبدیل انرژی، دانشکده مهندسی، دانشگاه بیرجند، ایران

(۲) نویسنده‌ی مسئول: دانشیار، گروه مهندسی مکانیک - تبدیل انرژی، دانشکده مهندسی، دانشگاه بیرجند، ایران. mmjafarian@birjand.ac.ir

(۳) استاد، گروه مهندسی مکانیک - تبدیل انرژی، دانشکده مهندسی، دانشگاه فردوسی مشهد، ایران

نازل از سطح افقی ( $h_N$ ) شعاع پرش ( $R_j$ )، ارتفاع پایین دست پرش ( $h_2$ ) و سایر پارامترهای پرش هیدرولیکی دایروی نشان داده شده است. از جمله کاربردهای این پدیده می‌توان به خنک‌کاری در فرایندهای صنعتی اشاره کرد [1,2].



شکل «۲»: شماتیک جت عمودی برخوردکننده به صفحه افقی و ایجاد پرش هیدرولیکی دایروی

اوّلین شخصی که پرش هیدرولیکی را به صورت علمی مورد مطالعه و بررسی قرار داد، فیزیکدان بریتانیایی، لرد رایلی، بود. وی در سال ۱۹۱۴ جریان یک کانال رویاز با عرض ثابت را با فرض جریان غیر لزج مورد مطالعه قرار داد و تئوری خود را بیان کرد [3]. او با فرض اینکه جرم و مومنتم در عرض پرش بقا دارند ولی انرژی بقا ندارد، اظهار داشت که می‌توان از این تئوری برای موج سیالی که ارتفاع سیال در دو طرف آن اختلاف سطح دارد، استفاده کرد.

بیرخوف و زارانتونلو [4] در سال ۱۹۵۷ تئوری کاملی از پرش‌های هیدرولیکی دایروی غیر لزج ارائه کردند. از دیدگاه تئوری غیر لزج، توازنی بین نیروی فشار و مومنتم در موقعیت پرش وجود دارد. با این وجود، به خاطر نازکی لایه‌ی مایع، بهویژه قبل از پرش، واضح است که جریان در چنین مسائلی دارای لزجت است و تئوری غیر لزج برای پیش‌بینی شعاع پرش هیدرولیکی دایروی مناسب نیست.

## مقدّمه

از دیدگاه علم مکانیک سیالات، هنگامی که یک جت عمودی سیال به یک صفحه افقی برخورد می‌کند، سیال به صورت شعاعی و در همه جهات پخش می‌شود. در یک فاصله خاص از محل برخورد جت سیال که به آن شعاع پرش هیدرولیکی گفته می‌شود، به‌طور ناگهان ضخامت سیال افزایش یافته، جریان از حالت فوق بحرانی به حالت زیربحرانی تبدیل می‌شود و اصطلاحاً یک پرش هیدرولیکی دایروی شکل می‌گیرد (شکل ۱). جریان فوق بحرانی بالا دست دارای انرژی بسیار زیادی است که رفتارهای به دلیل اصطکاک و دیگر عوامل کاهنده سرعت، در پایین دست پرش به حالت زیربحرانی تبدیل می‌شود. جریان زیربحرانی پایین دست دارای محتوى انرژی کمتری است. جریان برای تبدیل از حالت فوق بحرانی به زیربحرانی به‌نماز در یک محل خاص، انرژی خود را تخلیه می‌کند که این تخلیه انرژی به صورت یک پرش هیدرولیکی ظاهر می‌شود. هدف اصلی در تحقیقات علمی در این زمینه یافتن محل ایجاد پرش هیدرولیکی دایروی، یا به عبارتی شعاع پرش هیدرولیکی است.



شکل «۱»: پرش هیدرولیکی دایروی

شکل (۲) شماتیک پرش هیدرولیکی دایروی را نشان می‌دهد. با توجه به تقارن محوری پرش هیدرولیکی دایروی، نیمی از پرش مقطعی پرش نشان داده شده است. در این شکل شعاع نازل ( $a$ )، فاصله

اثر پارامتر کلیدی کشش سطحی در مسئله پرش هیدرولیکی دایروی توانستند به صورت تحلیلی و آزمایشگاهی تئوری واتسون را اصلاح و نتایج آن را بهبود بخشنند. آنها اثر کشش سطحی را با اعمال نیروی انحنای شعاعی (مؤلفه‌ی شعاعی نیروی کشش سطحی مربوط به انحنای پرش) در ناحیه پرش در نظر گرفته و با حل معادله بقای مومنتم به حل مسئله پرداختند. بوش و همکاران [11] یک تقسیم‌بندی منظم برای ساختار پرش هیدرولیکی دایروی ارائه کردند. بر اساس تقسیم‌بندی آنها، انواع ساختار پرش هیدرولیکی دایروی در شکل (۳) نشان داده شده است.

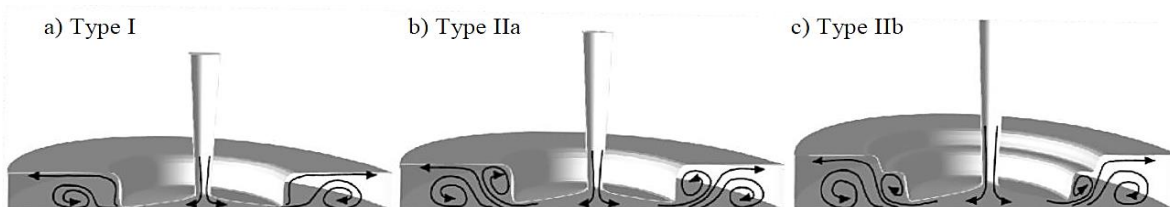
بوکویی و زائو [12] انتقال در پرش هیدرولیکی دایروی را در نظر گرفتند و آن را به صورت عددی مطالعه کردند. آنها تغییر پرش از نوع I به نوع II که در آزمایش‌ها بررسی شده بود و علت آن تغییر ارتفاع سیال در پایین دست پرش بود را به صورت عددی مورد مطالعه قرار دادند و اظهار داشتند که این انتقال با افزایش فشار در زیر سطح جریان، بلا فاصله بعد از پرش ارتباط دارد. پس از آن، آنها ساختار تشکیل پرش‌های هیدرولیکی دایروی را با اعداد رینولدز متوسط به صورت عددی بررسی کردند [13]. نتایج عددی آنها نشان داد که افزایش فشار زیر سطح در پرش، نقش مهمی در تولید جریان برگشتی ایگا می‌کند که برای ایجاد و بقای گردابه نیاز است. همچنین یک وابستگی میان میدان فشار و نیروی کشش سطحی وجود دارد.

واتسون در سال ۱۹۶۴ برای اوئین بار اثر لزجت را در پرش هیدرولیکی دایروی در نظر گرفت [5]. او این پدیده را با فرض لایه مرزی برای بالادست پرش که از جت توسعه می‌یابد، به صورت تئوری درآورد. واتسون از کشش سطحی در تئوری خود صرف نظر کرد که نقص این تئوری نیز به حساب می‌آید. او با فرض جریان آرام، صرف نظر از تغییرات شعاعی فشار هیدرولاستاتیک در مقایسه با تنش‌های لزج، همچنین صرف نظر از ساختار پرش و معرفی یک پارامتر تشابه‌ی، سعی کرد تا معادلات حاکم را به روش تشابه‌ی حل کند.

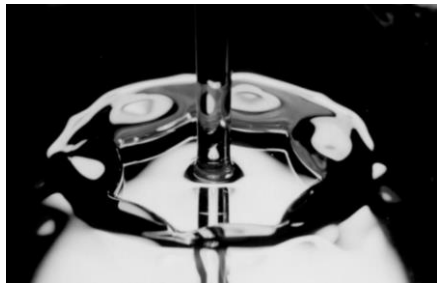
تحقیقان مختلف دیگری در سراسر جهان در چهار دهه‌ی اخیر مانند خود واتسون [5]، کریک و همکاران [6]، اریکو [7] و لیو و لینهارد [8] به طور آزمایشگاهی تئوری واتسون را بررسی کردند و نشان دادند که تئوری واتسون در برخی از شرایط مطابقت کمی با نتایج آزمایشگاهی دارد.

هیگوئرا [9] پرش هیدرولیکی ظاهر شده در جریان آرام و لزج روی یک صفحه افقی محدود را به صورت عددی مطالعه کرد و از تقریب‌های لایه مرزی برای جریان داخلی و ناحیه اطراف پرش استفاده کرد. وی در نظر گرفتن اثر کشش سطحی و تغییرات فشار و استفاده از تقریب لایه مرزی را به عنوان گامی روبه‌جلو برای توصیف جریان در همه پرش‌های هیدرولیکی مسطح در محدوده اعداد رینولدز بی‌نهایت در نظر گرفت.

در سال ۲۰۰۳ بوش و اریستوف [10] نقص اصلی تئوری واتسون را برطرف کردند. آنها با در نظر گرفتن



شکل «۳»: شماتیک انواع ساختار پرش هیدرولیکی دایروی پایدار [11].



شکل ۴: پرش هیدرولیکی غیر دایروی [17]

چند پایاپی (Hysteresis) پرش‌های چندضلعی به وسیله الگاردها و همکاران [17] گزارش شد. آنها اشاره کردند که در یک رژیم پارامتری ثابت، چندین چندضلعی می‌تواند پایدار باشد. به عنوان مثال در یک عدد رینولدز خاص، می‌توان پرش‌های هیدرولیکی چندضلعی با ۴، ۵، ۶، ۷ و یا حتی ۸ ضلع مشاهده کرد [18]. بر این اساس تیمورتاش و مخلصی [18] برای پرش‌های چندضلعی پایا، ناحیه پایداری معرفی کردند و به ترسیم نمودارهای پایداری پرداختند. آنها اظهار داشتند که مریت این نمودارها نسبت به نمودارهای الگاردها و همکارانش [17] و بوش و همکارانش [11] این است که امکان شکل‌گیری چندین پرش چندضلعی با تعداد گوشه‌های مختلف در یک پارامتر ثابت را نشان می‌دهد. شکل (۵) دو نمونه از این نمودارها برای دو ارتفاع مانع پایین دست  $H_{obstacle}=0.22, 0.30\text{cm}$  را نشان می‌دهد. در نمودارهای این شکل معرف تعداد اضلاع پرش چندضلعی است.

این پدیده مشابه پدیده بازماند در الکترومغناطیس است که با افزایش دبی در مرحله رفت و کاهش دبی در مرحله برگشت، همپوشانی در محدوده پایداری چندضلعی‌ها و در نتیجه در تعداد اضلاع حاصل می‌شود.

میکلولیچ و میکلولیچ [14] یک مدل ساده پخشی برای پرش‌های هیدرولیکی دایروی پیشنهاد دادند. مدل آنها از تحلیل معادله برنولی استخراج شد. آنها یک تحلیل مقدماتی روی پرش‌های نوع I و نوع II، یعنی شکل‌گیری یک یا دو گردابه، نیز انجام دادند و نتایج خود را با نتایج آزمایشگاهی مقایسه کردند که رضایت‌بخش بود.

پسندیده‌فرد و همکارانش [15] یک مطالعه پارامتری به منظور تأثیر پارامترهای مختلف، شامل نرخ حجمی جریان، ارتفاع پایین دست، لزجت و جاذبه روی شعاع پرش هیدرولیکی دایروی و ویژگی‌های آن انجام دادند. آنها مطالعه عددی خود را به کمک روش حجم سیال [16] و با در نظر گرفتن کشش سطحی انجام داده و نتایج عددی حاصل را با داده‌های آزمایشگاهی مقایسه کردند.

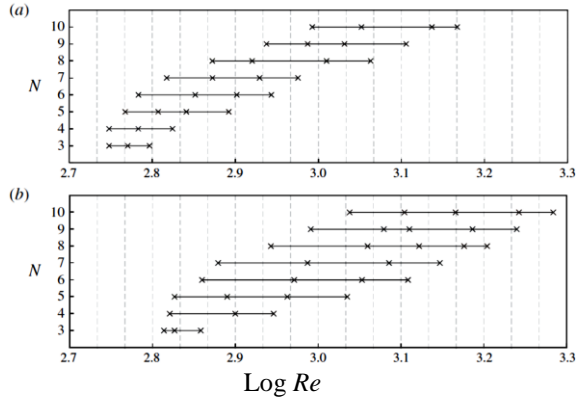
الگاردها و همکاران [17] در سال ۱۹۹۹ که به طور تجربی در حال بررسی پرش دایروی بودند برای اولین بار با پدیده جالبی مواجه شدند و آن پرش‌های هیدرولیکی غیر دایروی یا چندضلعی (Polygonal Hydraulic Jump) بود. شکل (۴) تصویر یک پرش هیدرولیکی هفت‌ضلعی را نشان می‌دهد. آنها دریافتند که شکل‌های چندضلعی ثابت (پایدار) وقتی می‌توانند تشکیل شوند که لزجت سیال زیاد باشد (تقرباً ۱۱ برابر لزجت آب) و یک مانع پایین دست با ارتفاع مشخص برای جریان در نظر گرفته شود. این مانع، یک دایرة مسطح توخالی هم‌مرکز با صفحه هدف و جت عمودی است که از جنس شیشه یا پلکس گلس ساخته شده و بر روی صفحه هدف قرار می‌گیرد. آنها همچنین واپستگی تعداد گوشه‌ها را به نرخ جریان، ارتفاع نازل و ارتفاع پایین دست برای یک نازل با شعاع داخلی  $0.5\text{cm}$  در پرش‌های چندضلعی نشان دادند.

خروجی از پرش پیشنهاد دادند. آنها همچنین نشان دادند که در محلول گلیسرین-آب، با کاهش کشش سطحی از طریق یک افروزنی به سیال، پرش هیدرولیکی چندضلعی به پرش هیدرولیکی دایروی تبدیل می شود و شعاع آن حدود ۲۰٪ افزایش می یابد. تیمورتاش و مخلصی [18] موج های ایجاد شده در سطح پرش دایروی، درست قبل از تبدیل شدن به یک پرش چندضلعی را به عنوان ناپایداری معرفی کردند که البته علت پدیدار شدن این موج، خود یک سؤال است. با مطالعه تحقیقات محققان درمی یابیم که هرگاه یک مانع پایین دست برای پرش هیدرولیکی دایروی پایدار در نظر گرفته می شود، این پرش ناپایدار شده و به یک پرش هیدرولیکی چندضلعی تبدیل می شود. اما تاکنون و پس از گذشت نزدیک به دو دهه از مشاهده پدیده پرش های هیدرولیکی چندضلعی علت ناپایداری، شکل گیری و نحوه رفتار این پرش ها شناخته نشده است و همچنان به عنوان یک سؤال مطرح است. در این تحقیق علاوه بر شناسایی علت ناپایداری و شکل گیری پرش های هیدرولیکی چندضلعی، به تحلیل رفتار این پرش ها و پارامترهای مهم و مؤثر بر آن پرداخته می شود. در ادامه به این سؤال نیز پاسخ داده خواهد شد که چرا پرش های هیدرولیکی چندضلعی به صورت چندضلعی منتظم شکل می گیرند؟

### تئوری

مهم ترین و معترض ترین تئوری در زمینه پرش های هیدرولیکی دایروی، تئوری واتسون است که توسط بوش و اریستوف [10] با اعمال اثر ضربی کشش سطحی اصلاح شد. آنها در نهایت معادلات زیر را برای پیش بینی شعاع پرش هیدرولیکی دایروی پیشنهاد دادند:

$$\frac{R_j h_2^2 g a^2}{Q^2} \left(1 + \frac{2}{Bo}\right) + \frac{a^2}{2\pi^2 R_j h_2} = 0.10132 \\ -0.1297 \left(\frac{R_j}{a}\right)^{3/2} Re^{-1/2}, \quad R_j < r_0 \quad (1)$$



شکل ۵: ناحیه پایداری پرش های چندضلعی پایا  
[18]  $H_{obstacle}=0.30$  (b)  $H_{obstacle}=0.22$  (a)

مارتنز و همکاران [19] در سال ۲۰۱۲ برای اوّلین بار یک تئوری برای پرش های نوع II بر اساس موازنۀ مومنت در راستای شعاعی و مماسی پرش ارائه کردند. آنها این موازنۀ را برای غلتک (Roller) زیر سطحی به عنوان یک شیء مجزا انجام داده و با صرف نظر از کشش سطحی توانستند به صورت تحلیلی، تعداد گوشۀ های چندضلعی را پیش بینی کنند.

روجاس و تیراپگیو [20] با استفاده از تئوری روانکاری ایترسی [21] به بررسی پرش های هیدرولیکی دایروی و چندضلعی پرداختند. آنها با در نظر گرفتن تقارن مماسی و اغتشاشات کوچکی در پرش دایروی، یک معادله غیر خطی برای حالت چندضلعی به دست آوردند و نشان دادند که از نظر تئوری وقتی عدد موج بی بعد خیلی بزرگ‌تر از ۱۰ باشد، یا به عبارتی کشش سطحی خیلی کم باشد، حل چندضلعی به یک پرش دایروی نوع II همگرا می شود. بوش و همکاران [11] و مارتینز و همکاران [17] دریافتند که ناپایداری در پرش های دایروی و تشکیل غیر دایروی ها می تواند به ناپایداری رایلی-پلانتو مربوط باشد. بوش و همکاران [11] یک رابطه تجربی برای طول موج ناپایداری پرش های غیر دایروی پایدار بر اساس کشش سطحی، چگالی و سرعت شعاعی

ساختار پرش پایدار را به یک جریان وابسته به زمان یا حتی یک جریان مغشوش تغییر می‌دهد [22]. بالا رفتن کشش سطحی، پرش را ناپایدار می‌کند [10]. از دیدگاه تئوری یک حد کشش سطحی بحرانی بالا وجود دارد که پرش دایروی پایدار نمی‌تواند وجود داشته باشد و این یعنی این‌که یک حالت گذرا به یک پرش دایروی ناپایدار یا یک پرش غیر دایروی موجود است. این کشش سطحی بحرانی به لزجت، نرخ جریان و پارامترهای دیگر بستگی داشته و با افزایش لزجت کاهش می‌باید [23].

می‌توان گفت یکی از پارامترهای مهم در بحث پایداری، کشش سطحی است. در توضیح این پارامتر می‌توان گفت که در داخل مایع، به هر مولکول، از سوی مولکول‌های دیگر نیرویی وارد می‌شود و برآیند نیروی وارد بر هر مولکول صفر است. در سطح مایع، به مولکول‌ها تنها از یک جهت، توسط دیگر مولکول‌ها نیرو وارد می‌شود و در جهت دیگر (مثالاً از طرف هوا) نیرو ناچیز است؛ بنابراین، نیرویی به طرف داخل، به مولکول‌هایی که در سطح مایع قرار دارند وارد می‌شود و تلاش در کاهش سطح انرژی و سطح رویه سیال را دارد؛ بنابراین سطح مایع آنقدر جمع می‌شود تا کمترین مساحت و سطح انرژی را داشته باشد.

پلاتو [24] و رایلی [25]، دریافتند که در یک باریکه سیال که از دهانه نازل خارج و به سمت پایین می‌ریزد، هر چه قدر هم باریکه سیال یکنواخت باشد، کشش سطحی می‌تواند با رشد آشفتگی‌ها در راستای شعاعی باعث ایجاد انحنا در سطح باریکه و در نهایت به قطره‌قطره شدن باریکه سیال منجر شود. با توجه به اینکه کشش سطحی همواره سعی در ایجاد کمترین سطح رویه در سیال دارد و کمترین سطح رویه برای قطره یا شکل کروی سیال است، هرچقدر کشش سطحی بیشتر باشد، رشد آشفتگی‌ها و ناپایداری‌ها بیشتر است و باریکه سیال سریع‌تر دچار انحنا و قطره‌قطره شدن می‌شود.

$$\frac{R_j h_2^2 g a^2}{Q^2} \left(1 + \frac{2}{Bo}\right) + \frac{a^2}{2\pi^2 R_j h_2} = 0.01676 \\ \left[ \left(\frac{R_j}{a}\right)^3 Re^{-1} + 0.1826 \right]^{-1}, R_j \geq r_0 \quad (2)$$

که در آن  $R_j$  شعاع پرش،  $h_2$  ارتفاع سیال در پایین‌دست پرش،  $g$  شتاب جاذبه،  $a$  شعاع دهانه جت،  $Q$  دبی جریان،  $Bo$  عدد باند و  $Re$  عدد رینولدز است. اعداد رینولدز و باند طبق رابطه‌های (۳) و (۴) تعریف می‌شوند:

$$Bo = \frac{\rho g R_j \Delta H}{\sigma} \quad (3)$$

$$Re = \frac{Q}{av} \quad (4)$$

که در آن  $\rho$  چگالی سیال،  $\Delta H$  اختلاف ارتفاع سیال در بالا و پایین‌دست پرش،  $\sigma$  کشش سطحی و  $l$  لزجت سینماتیکی است. از دیگر اعداد بی‌بعد مهم و مؤثر در زمینه پرش‌های هیدرولیکی عدد فرود ( $Fr$ ) و وبر ( $We$ ) هستند که مطابق رابطه‌های (۵) و (۶) تعریف می‌شوند:

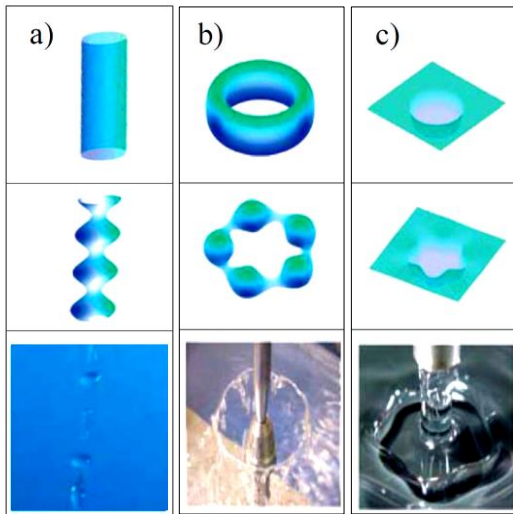
$$Fr = \frac{V}{\sqrt{gh}} \quad (5)$$

$$We = \frac{\rho Q^2}{\sigma h_2^3} \quad (6)$$

$V$  در رابطه (۵) سرعت سیال در محل پرش است. در این رابطه اگر  $h$  ارتفاع سیال در بالادست پرش ( $h_1$ ) و سرعت سیال در بالادست پرش ( $V_1$ ) باشد، عدد فرود بالادست پرش و اگر  $h$  ارتفاع سیال در پایین‌دست پرش ( $h_2$ ) و سرعت سیال در پایین‌دست پرش ( $V_2$ ) باشد، عدد فرود پایین‌دست پرش است.

پایداری یک مشخصه مهم برای طبقه‌بندی پرش‌های هیدرولیکی دایروی و غیر دایروی است. برخی فاکتورها از قبیل ارتفاع پایین‌دست پرش، نرخ جریان، لزجت، کشش سطحی و جاذبه، بر پایداری پرش اثر می‌گذارند. افزایش ارتفاع پایین‌دست پرش،

قطره قطره شدن می‌انجامد. اگر غلتک زیرسطحی مدور در ساختار نوع IIb پرش هیدرولیکی دایروی که در شکل (c-۲) نشان داده شد (مارتنز و همکاران [19]) از آن برای ارائه تئوری پرش چندضلعی استفاده کردند) را به عنوان یک باریکهٔ تیوب شکل در نظر بگیریم، شکل (b-۶) نحوه اثر آشفتگی‌ها بر آن و ناپایدار شدن پرش دایروی را نشان می‌دهد. اما همان‌طور که در شکل (c-۶) مشاهده می‌شود، اگر لزجت سیال زیاد (حدوداً ۱۰ برابر آب) و کشش سطحی آن کم باشد، کشش سطحی قدرت کافی برای قطره‌قطره کردن غلتک را نداشته و پرش دایروی به یک چندضلعی تبدیل می‌شود.



شکل «۶»: اثر کشش سطحی بر باریکهٔ سیال در حضور

آشفتگی‌های موجود در سیال [11]

این سؤال همچنان قابل طرح است که آشفتگی‌هایی که در حضور کشش سطحی و لزجت بر اساس پدیده رایلی-پلاتو علت شکل‌گیری پدیده پرش هیدرولیکی چندضلعی هستند، چگونه وارد سیستم می‌شوند و آیا با کاهش یا حذف آنها می‌توان به جای پرش چندضلعی همچنان پرش دایروی پایدار داشت؟ در ادامه با شناسایی این آشفتگی‌ها و نوسانات به مطالعه علت شکل‌گیری پرش هیدرولیکی چندضلعی

به هنگام جاری شدن باریکهٔ آب از شیر، تقریباً بعد از ۱۰ ثانیه متر، باریکهٔ دچار انحنای قطره شدن می‌شود. این در حالی است که در مورد باریکهٔ عسل این طول می‌تواند به حدود ۱۰ متر برسد. جوادی و همکاران [26] به کمک روش آزمایشگاهی و همچنین آنالیز ریاضی رشد آشفتگی‌ها در امتداد باریکهٔ سیال نشان دادند که طول کشیدگی باریکهٔ سیال قبل از قطره‌قطره شدن، طبق رابطه (۷) به دنبی جریان ( $Q$ )، لزجت سیال ( $\mu$ ) و ضریب کشش سطحی ( $\sigma$ ) بستگی دارد:

$$l_b \sim (g Q^2 \mu^4 / \sigma^4)^{1/3} \quad (7)$$

طبق این رابطه، هرچقدر لزجت بیشتر و کشش سطحی کمتر باشد، باریکهٔ سیال توانایی بیشتری در خنثی کردن آشفتگی‌ها و حفظ پایداری دارد. بر عکس هرچه کشش سطحی بیشتر و لزجت کمتر باشد، رشد آشفتگی‌ها و ناپایداری‌ها بیشتر بوده و استوانه‌ی سیال به سمت ایجاد انحنای قطره‌قطره شدن پیش می‌رود. به همین دلیل است که در سیال آب که دارای کشش سطحی بالاتر و لزجت کمتری نسبت به اتیلن گلیکول است، آشفتگی‌ها به سرعت و به شدت رشد کرده و پرش هیدرولیکی شکل منظمی را نشان نمی‌دهد. بر عکس در سیال اتیلن گلیکول که دارای لزجت بالاتر و کشش سطحی کمتری است، سیال تا حدی توانایی کنترل آشفتگی را دارد و به سمت قطره‌قطره شدن پیش نمی‌رود و در نتیجه کشش سطحی با ایجاد منحنی‌های در سطح پرش، به حداقل سطح رویه و انژی می‌رسد. این منحنی‌ها همان اصلاح و گوشش‌های پرش هیدرولیکی چندضلعی می‌باشند که با تغییر دبی، تعداد و طول آنها تغییر می‌کند.

شکل (a-۶) باریکهٔ استوانه‌ای که به دلیل کشش سطحی و رشد آشفتگی‌ها دارای انحنای در سطح خود شده است را نشان می‌دهد. این باریکه در نهایت به

کافی طولانی شود و از توسعه یافتنگی جریان کاملاً اطمینان حاصل شود.

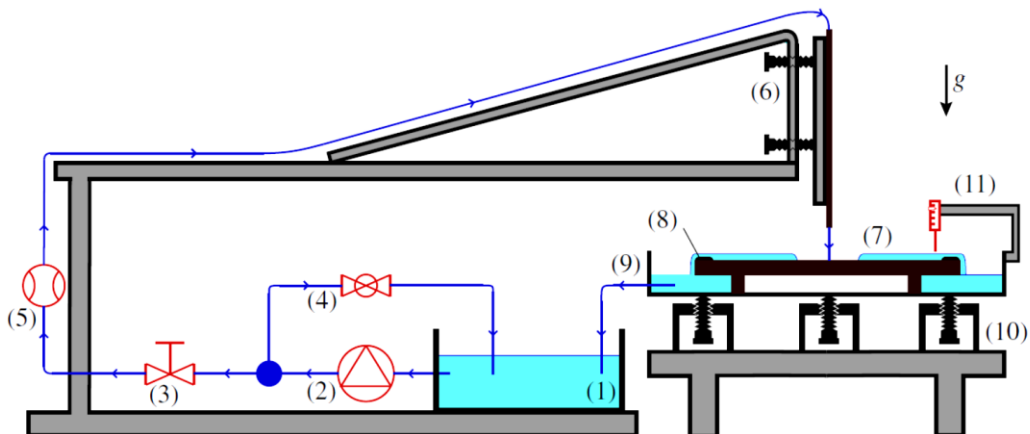
سیال پس از خروج از لوله شیشه‌ای به صورت کاملاً عمودی به صفحه هدف (۷) برخورد می‌کند. صفحه هدف یک صفحه شیشه‌ای دایروی با قطر ۴۵cm و ضخامت ۶mm است. صفحه هدف درون یک ظرف سرریز (۹) ساخته شده از پلکسی گلس با ابعاد ۴۵cm×۵۵cm×۱۵cm و به فاصله حدوداً ۳cm بالاتر از کف این ظرف قرار می‌گیرد. به این ترتیب سیال از روی صفحه هدف به این مخزن سرازیر شده و از خروجی آن به سمت مخزن اصلی (۱) و یا در صورت نیاز به سمت دبی سنج (۵) هدایت می‌شود تا در نهایت یک سیکل آزمایش کامل گردد. موانع پایین دست که برای تبدیل پرش هیدرولیکی دایروی به پرش هیدرولیکی چندضلعی لازم است، از جنس شیشه یا پلکسی گلس هستند. فاصله دهانه جت تا صفحه هدف در تمام آزمایش‌ها ۱cm در نظر گرفته شد.

پرداخته می‌شود. همچنین علت شکل‌گیری پرش‌های چندضلعی به شکل منتظم مورد مطالعه قرار می‌گیرد.

## آزمایش

شکل (۷) شماتیک دستگاه آزمایش مورد استفاده در این تحقیق را نشان می‌دهد. به طور اجمالی می‌توان گفت دستگاه آزمایش شامل یک مخزن اصلی برای نگهداری سیال (۱)، پمپ برای پمپاژ سیال (۲)، پایه‌های نگهدارنده، لوله‌های با قطرهای مختلف برای تنظیم اندازه قطر جت سیال، صفحه هدف دایروی (۷)، مخزن سرریز (۹)، مکانیزم‌های ترازبندی افقی و عمودی، مکانیزم‌های نوردهی و تصویربرداری، دبی سنج (۱۱)، کولیس دیجیتال و دماسنج است.

برای ایجاد یک جت سیال متقاضن محوری و کاملاً توسعه یافته، از لوله‌های عمودی با طول ثابت ۱۲۰ سانتی‌متر استفاده شده است. طول لوله‌ها آنقدر بلند انتخاب شده تا مسیر حرکت عمودی سیال به اندازه

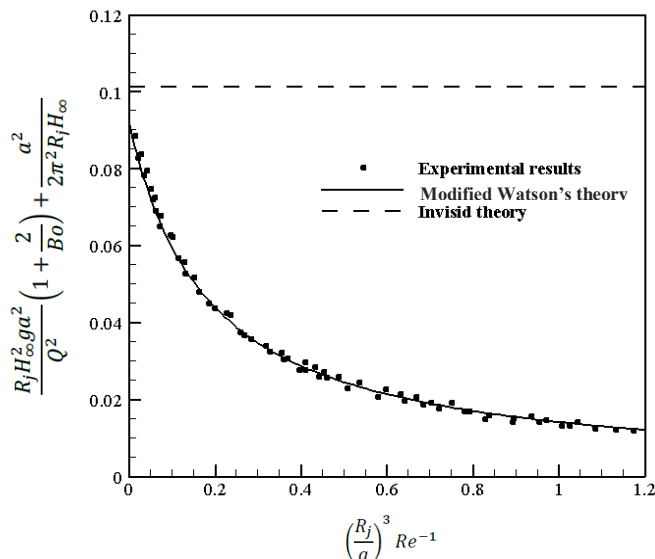


شکل «۷»: شماتیک دستگاه آزمایش مورد استفاده در این تحقیق. ۱) مخزن نگهداری سیال، ۲) پمپ، ۳) شیر تنظیم دبی، ۴) شیر مسیر فرعی، ۵) دبی سنج، ۶) مکانیزم ترازبندی عمودی، ۷) صفحه هدف شیشه‌ای، ۸) مانع پایین دست، ۹) مخزن سرریز، ۱۰) مکانیزم ترازبندی افقی و ۱۱) سیستم اندازه گیری ضخامت سیال [18]

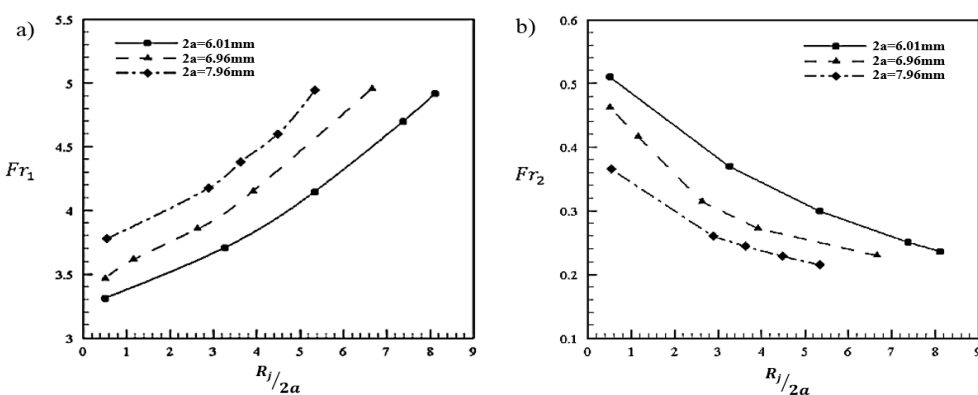
همان طور که پیشتر گفته شد، واتسون [5] تئوری خود را بدون در نظر گرفتن ساختار پرش (شکل ۳) ارائه کرد و این تئوری برای پرش های نوع یک که دارای یک گردابه زیرسطحی هستند، از دقّت بالایی برخوردار است. افزایش فشار زیر سطح در پوش باعث ایجاد جریان برگشتی (گردابه) می شود. شکل (۹) نمودار تغییرات عدد فرود در برابر شعاع بی بعد پرش را نشان می دهد.

## نتایج

برای بررسی دقّت نتایج آزمایشگاهی و صحّه گذاری بر عملکرد دستگاه آزمایش، در شکل (۸) نتایج پرش هیدرولیکی دایروی نوع I که با استفاده از یک جت شیشه ای به قطر  $2a=6.01\text{mm}$  بدست آمده است، با نتایج تئوری اصلاح شده واتسون مقایسه شده است. همان طور که مشاهده می شود، عملکرد دستگاه مناسب بوده و نتایج آزمایشگاهی با دقّت خوبی بر نتایج تئوری منطبق هستند.

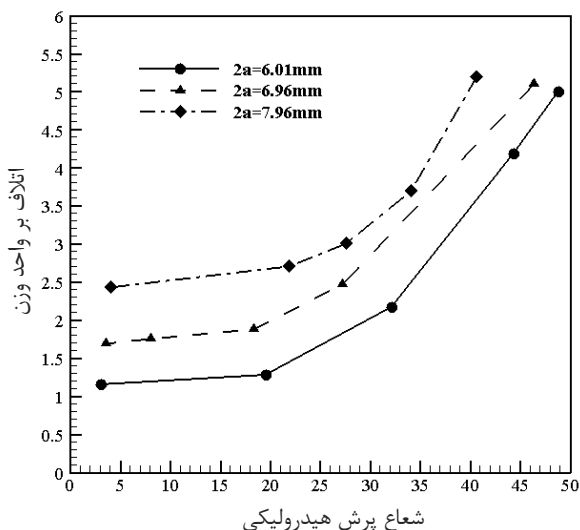


شکل «۸»: مقایسه نتایج پرش هیدرولیکی دایروی نوع I با تئوری اصلاح شده واتسون



شکل «۹»: (a) تغییرات عدد فرود بالادست پرش در برابر شعاع بی بعد پرش و (b) تغییرات عدد فرود پایین دست پرش در برابر شعاع بی بعد پرش

در زیر سطح جریان می‌شود و به این ترتیب ساختار نوع IIa شکل می‌گیرد (شکل b-۳). افزایش بیشتر اختلاف میان اعداد فرود می‌تواند پرش را به نوع IIb نیز تبدیل کند (شکل c-۳). پرش‌های هیدرولیکی چندضلعی در این نوع ساختار شکل می‌گیرند. به این ترتیب نحوه شکل‌گیری ساختارهای پرش هیدرولیکی بر اساس اختلاف میان اعداد فرود بالادست و پایین‌دست پرش قابل توجیه است.



شکل «۱۰»: تغییرات اتلاف بر واحد وزن در مقابل شاعر پرش

با توجه به کارهای آزمایشگاهی قبلی که توسط دانشمندان انجام شده، در حضور یک مانع پایین‌دست با ارتفاع مشخص بر روی صفحه هدف، پرش هیدرولیکی به شکل چندضلعی ظاهر می‌شود. همان‌طور که در بخش تئوری شرح داده شد، آشفتگی‌ها باعث ایجاد ناپایداری و چندضلعی شدن پرش می‌شوند. این آشفتگی‌ها را می‌توان به چند دسته تقسیم‌بندی کرد که در جدول (۱) لیست شده‌اند. در این تحقیق، پیش‌بینی می‌شود که اگر بتوان به طریقی این آشفتگی‌ها و نوسانات را کاهش داد یا به حداقل رساند، پرش هیدرولیکی همچنان به صورت پایدار و دائمی باقی بماند. در جدول (۱)، روش حذف و یا کاهش ناپایداری‌ها نیز ذکر شده است. باید دقت داشت

همان‌طور که انتظار می‌رود و در شکل (۹) نیز مشاهده می‌شود، عدد فرود در بالادست پرش (شکل a-۹) بزرگ‌تر از یک (جریان فوق بحرانی) و در پایین‌دست پرش (شکل b-۹) کمتر از یک (جریان زیربحرانی) است. نکته قابل توجه در شکل (۹) این است که در شاعرهای بی‌بعد بزرگ‌تر پرش، عدد فرود بالادست جریان ( $Fr_1$ ) بیشتر و عدد فرود پایین‌دست جریان ( $Fr_2$ ) کمتر است. به عبارتی هرچقدر شاعر بی‌بعد پرش افزایش یابد، اختلاف میان مقادیر  $Fr_1$  و  $Fr_2$  افزایش یافته و این به معنی افزایش اتلافات و در نتیجه افزایش فشار زیرسطحی است.

میزان اتلافات بر اساس قانون اول ترمودینامیک از طریق رابطه (۸) محاسبه می‌شود [۲۷]:

$$\frac{v_1}{2g} + h_1 = \frac{v_2}{2g} + h_2 + \left[ (u_2 - u_1) - \frac{dQ_T}{dm} \right] \frac{1}{g} \quad (8)$$

که در آن  $Q_T$  انتقال حرارت و  $u_1$  و  $u_2$  به ترتیب انرژی داخلی سیال در قبل و بعد از پرش هستند. عبارت داخل کروشه در این معادله را می‌توان به عنوان افت انرژی بر واحد وزن در نظر گرفت. این رابطه با جایگزینی عدد فرود به شکل رابطه (۹) در می‌آید:

$$h_1 \left( \frac{Fr_1^2}{2} + 1 \right) - h_2 \left( \frac{Fr_2^2}{2} + 1 \right) \quad (9)$$

با توجه به اینکه میزان تغییرات  $h_1$  و  $h_2$  کم است و از طرفی اعداد فرود دارای توان ۲ هستند، این رابطه وابستگی زیادی به اعداد فرود بالادست و پایین‌دست پرش دارد. شکل (۱۰) میزان اتلافات بر حسب شاعر پرش را نشان می‌دهد. با افزایش شاعر پرش میزان اتلافات افزایش می‌یابد. همان‌طور که گفته شد، افزایش فشار زیرسطحی منجر به ایجاد یک گردابه زیرسطحی و در نتیجه ایجاد ساختار پرش نوع I می‌شود (شکل a-۳). اگر اختلاف میان دو عدد فرود بیشتر شود، فشار زیرسطحی بیشتر شده و باعث ایجاد یک گردابه دیگر

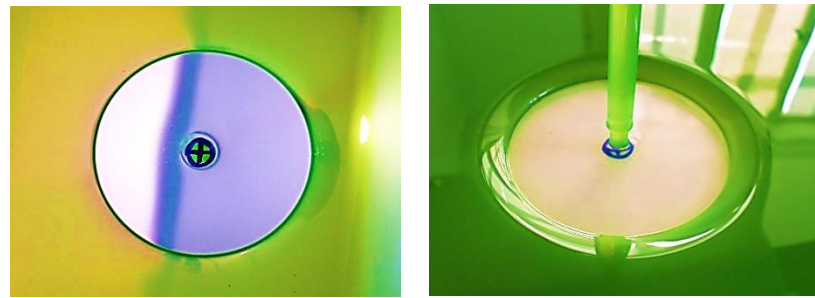
تا اینکه بالاخره در یک دبی خاص، پرش هیدرولیکی دایروی، ناپایدار شده و از محلی بر روی محیط آن یک گوشه متولد می‌شود. در این حالت در عین ثابت ماندن دبی، تولید گوشه‌های جدید و بیشتر ادامه می‌یابد و گوشه‌ها بر روی محیط پرش دایروی حرکت می‌کنند تا همه محیط پرش را فرامی‌گیرند و یک پرش هیدرولیکی چند ضلعی شکل می‌گیرد. شکل (۱۲) روند ناپایداری یک پرش دایروی را در دبی ثابت و در طول زمان نشان می‌دهد. پیداست که با افزایش دبی یا عدد رینولذز که منجر به افزایش مومنت سیال می‌شود، حداقل آشفتگی‌ها در پرش تقویت شده و در یک عدد رینولذز خاص موجب ناپایداری پرش دایروی پایدار شده‌اند. این در حالی است که در تحقیقات قبلی در اعداد رینولذز بسیار کم نیز پرش هیدرولیکی چند ضلعی پدیدار شده است.

که پنجمین مورد اغتشاشات در این جدول را می‌توان با کاهش دبی جریان کاهش داد؛ اما اگر دبی جریان بیشتر شود، تقویت ناپایداری‌ها، باعث ناپایداری پرش دایروی می‌شوند. به کمک آزمایش‌ها می‌توان میزان دبی که در آن پرش دایروی ناپایدار می‌شود را اندازه‌گیری کرد.

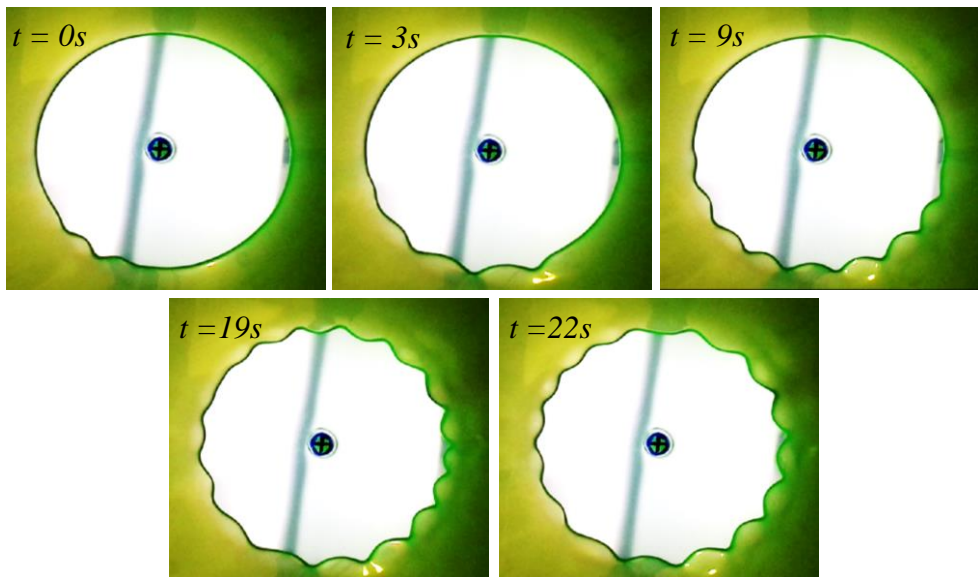
انجام آزمایش‌های متعدد در این تحقیق نشان می‌دهد که پیش‌بینی نویسنده‌گان این مقاله صحیح بوده و می‌توان با حذف یا کاهش انواع مختلف اغتشاشاتی که در جدول (۱) معرفی شدند، حتی در حضور یک مانع پایین‌دست، پرش هیدرولیکی دایروی پایدار ایجاد کرد. شکل (۱۱) نمای بالای و پایینی یک پرش هیدرولیکی دایروی پایدار را در حضور یک مانع پایین‌دست متقاضن دایروی به ارتفاع  $h=2.10\text{mm}$  نشان می‌دهد. شعاع این پرش با افزایش دبی افزایش می‌یابد

جدول «۱»: انواع ناپایداری‌هایی که باعث ناپایداری یک پرش دایروی پایدار و شکل‌گیری یک پرش چند ضلعی می‌شوند:

ردیف	نوع ناپایداری	علت	روش حذف و یا کاهش ناپایداری
۱	اغتشاشات محیطی	عواملی مانند لرزش در سازه آزمایشگاه یا جریان هوا و ...	استفاده از یک اتاق بدون لرزش و ارتعاش با در و پنجره‌های بسته
۲	اغتشاشات ناشی از قسمت‌های متحرک و لرزانده	حضور تجهیزات لرزان و ارتعاشی مانند پمپ	جدا کردن صفحه هدف و پایه‌ی نگهدارنده از سایر قسمت‌های دستگاه آزمایش
۳	اغتشاشات ناشی از تولید حباب و پدیده کاویتاسیون	سرعت بالای پره و ایجاد خلاً یا پایین آمدن فشار سیال	افزایش قطر چشم پمپ، کاهش قطر خروجی و استفاده از شیرهای تنظیم دبی بشتابی
		تعویض نامناسب پره پمپ با یک پره بزرگ‌تر از حد استاندارد و گیر افتادن سیال بین پره و پوسته	استفاده از پمپ مناسب با پرهی استاندارد
۴	اغتشاشات ناشی از درهمی جریان	مکش هوا از اتصالات	عدم آب بندی مناسب اتصالات
		اصطکاک و زبری سطوح شامل لوله‌های ایجاد کننده جت سیال و صفحه هدف	استفاده از لوله‌های پلی‌پروپیلن و اتصالات پرسی
۵	اغتشاشات ناشی از برخورد سیال به صفحه هدف و تولید امواج سطحی	برخورد سیال به صفحه هدف و مومنت سیال ورودی به محدوده پرش	کاهش مومنت ورودی به محدوده پرش از طریق کاهش دبی



شکل «۱۱»: پرش هیدرولیکی دایروی پایدار با ساختار نوع IIb در حضور مانع پایین دست با ارتفاع  $h=2.10\text{mm}$  ( $Q=82.23\text{ml/s}$ )

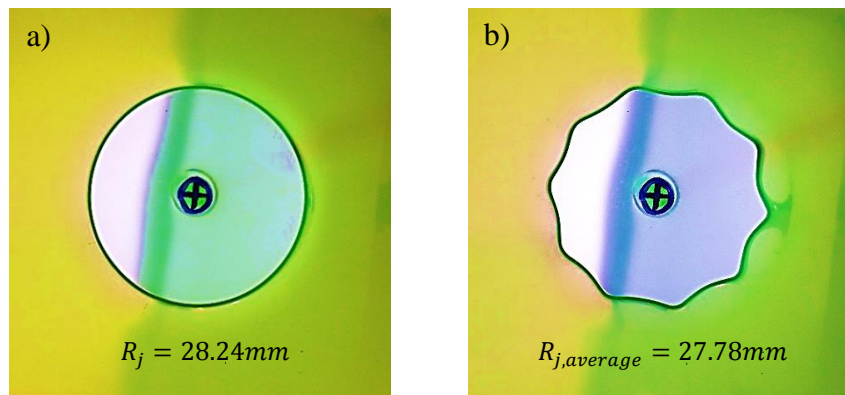


شکل «۱۲»: روند ناپایدار شدن یک پرش هیدرولیکی دایروی پایدار با ساختار نوع IIb در حضور مانع پایین دست با ارتفاع  $h=2.10\text{mm}$  ( $Q=123.16\text{ml/s}$ )

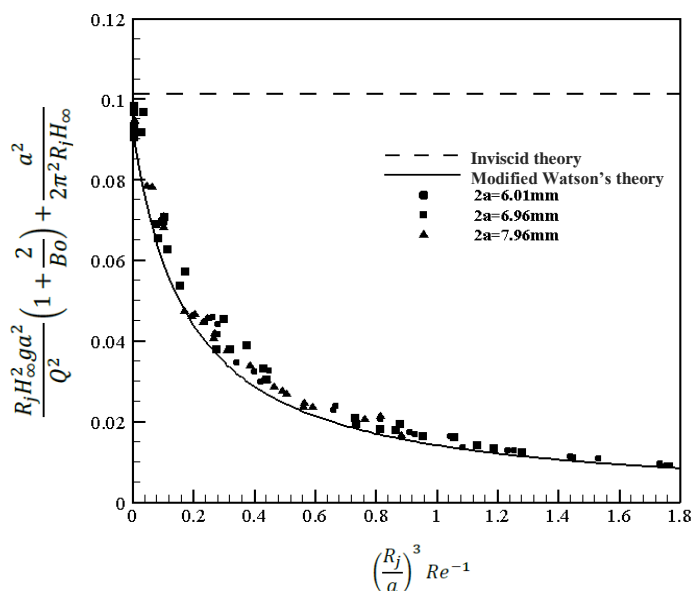
ساختار این پرش‌های هیدرولیکی پایدار از نوع IIb است (شکل ۳ و ۹).

شکل (۱۴) مقایسه نتایج پرش‌های دایروی پایدار به دست آمده در این تحقیق را با تئوری اصلاح شده واتسون، در سه قطر مختلف جت سیال، نشان می‌دهد. نتایج به دست آمده در دبی‌های مختلف با دقّت خوبی با تئوری اصلاح شده واتسون تطابق دارد. این تطابق در شعاع‌های کم‌وزیاد دقّت بیشتری دارد؛ اما در شعاع‌های میانی، اختلاف کمی میان نتایج آزمایشگاهی و نتایج تئوری وجود دارد که احتمالاً به این دلیل است که در تئوری واتسون اثر نوع ساختار پرش دایروی در نظر گرفته نشده است.

پرش هیدرولیکی دایروی ایجاد شده را می‌توان با ایجاد نوسانات یا اغتشاشاتی، مانند اغتشاشات محیطی یا تغییر ناگهانی دبی، ناپایدار کرده تا به یک پرش هیدرولیکی چندضلعی تبدیل شود. به عبارتی می‌توان در یک دبی ثابت و بدون تغییر در خواص فیزیکی و شیمیایی سیال (مانند کاهش کشش سطحی سیال با افزودن یک ماده به آن [11] و با تولید ناپایداری، یک پرش هیدرولیکی پایدار را به یک پرش هیدرولیکی چندضلعی در همان دبی تبدیل کرد. شکل (a-۱۳) یک پرش دایروی پایدار در دبی  $Q=56.95\text{ ml/s}$  و شکل (b-۱۳) پرش ۱۰ ضلعی متناظر پرش دایروی در همان دبی را نشان می‌دهد. هر دوی این پرش‌ها با تعبیه یک مانع پایین دست به ارتفاع  $h=2.10\text{mm}$  شکل گرفته‌اند.



شکل «۱۳»: a) پرش هیدرولیکی دایروی پایدار و b) پرش هیدرولیکی چندضلعی ایجادشده بر اثر ایجاد اغتشاش در پرش دایروی a در دبی ثابت ( $Q=56.95 \text{ ml/s}$ )



شکل «۱۴»: مقایسه نتایج پرش های دایروی پایدار به دست آمده در این تحقیق با تئوری اصلاح شده واتسون

به عبارتی در کمتر از این مقدار عدد رینولدز، سیال انرژی کافی برای ایجاد یک پرش هیدرولیکی را ندارد. این در حالی است که در آزمایش های قبلی، وجود نوسانات و اغتشاشات باعث شده است تا پرش هیدرولیکی از حداقل عدد رینولدز  $500$  به بالا به صورت چندضلعی باشد [18]. این عدد رینولدز، حداقل مقدار عدد رینولدز مورد نیاز برای شروع شکل گیری یک پرش هیدرولیکی است که به صورت دو ضلعی یا چشم است؛ اما در اینجا این سؤال مطرح

بنابراین یکی از دستاوردهای کار حاضر این است که بر خلاف کارهای قبلی و با حذف اغتشاشات و نوسانات از جریان، سیستم و محیط، پرش دایروی پایدار از اعداد رینولدز کم که در آن شعاع پرش تقریباً برابر با شعاع دهانه نازل است تا اعداد رینولدز بالا شکل می گیرد. در آزمایش های تحقیق حاضر، حداکثر محدوده پایداری پرش دایروی از حدود عدد رینولدز  $312$  تا حدود عدد رینولدز  $4624$  است. در اعداد رینولدز کمتر از  $312$  پرش هیدرولیکی شکل نمی گیرد.

دبی‌های مختلف، برابر است. افزایش دبی، در صد اختلاف نسبی را افزایش می‌دهد. دلیل این امر آن است که با افزایش دبی و به تبع آن افزایش شعاع پرش هیدرولیکی، اثر مانع پایین‌دست جریان بر پرش هیدرولیکی بیشتر شده و باعث افزایش اختلاف نسبی می‌شود؛ بنابراین می‌توان گفت که مساحت داخل پرش‌های مختلفی که ممکن است در یک دبی ثابت شکل گیرند، تقریباً برابر است. پس همهٔ شکل‌های چندضلعی با تعداد اضلاع برابر که ممکن است در یک دبی ثابت اتفاق بیفتد، دارای مساحت داخل پرش برابر خواهند بود؛ اما چرا از بین همهٔ چندضلعی‌های با تعداد اضلاع برابر که ممکن است در یک دبی ثابت ایجاد شوند، پرش به شکل چندضلعی منتظم در می‌آید؟ به عنوان یکی دیگر از دستاوردهای تحقیق حاضر باید گفت که علت آن است که پرش هیدرولیکی به دلیل حضور کشش سطحی تمايل دارد که کمترین مساحت رویه در پرش را ایجاد کند. کمترین مساحت رویه در بین پرش‌های چندضلعی با تعداد اضلاع و مساحت داخل برابر، مربوط به پرش چندضلعی منتظم است. این ادعا با توجه به نتایج موجود در جدول (۳) به اثبات می‌رسد. هر چه محیط پرش بزرگ‌تر باشد، مساحت رویه پرش نیز بزرگ‌تر خواهد بود.

می‌شود که چرا پس از وارد شدن اغتشاشات و شکل‌گیری پرش چندضلعی، این پرش به صورت متقارن و منتظم است؟ با توجه به اینکه اغتشاشات و نوساناتی که در جدول (۱) به آنها اشاره شد، همگی تصادفی هستند و هیچ نظم یا تقارن خاصی ندارند. در ادامه ثابت می‌شود که در یک دبی ثابت، مساحت داخل پرش‌های مختلف (اعم از دایروی و غیر دایروی) که ممکن است شکل گیرند، تقریباً برابر است؛ زیرا پارامتر مهم و مؤثر در مساحت داخل پرش هیدرولیکی، دبی است و افزایش یا کاهش دبی به طور مستقیم بر مساحت داخل پرش تأثیر می‌گذارد. جدول (۲) مقایسهٔ مساحت داخل دو نوع پرش دایروی و پرش چندضلعی متناظر، در دبی یکسان را نشان می‌دهد. پرش‌های چندضلعی این جدول به وسیلهٔ اعمال اغتشاشات محیطی (زدن ضربه با یک جسم خارجی به محیط پرش دایروی پایدار) ایجاد شده‌اند. پرش چندضلعی ایجاد شده پس از گذر مدتی زمان، به آهستگی به یک پرش دایروی پایدار در همان دبی بر می‌گردد.

بررسی نتایج مربوط به مساحت داخل پرش در جدول (۲)، نشان می‌دهد که برای یک پرش دایروی و پرش چندضلعی متناظر در دبی ثابت، مساحت داخل پرش با درصد اختلاف نسبی کمتر از ۱۰/۶۶ در

جدول «۲»: مقایسهٔ مساحت‌های پرش دایروی پایدار و چندضلعی متناظر آن در دبی ثابت

شماره آزمایش	دبی (ml/s)	شكل پرش	تعداد اضلاع پرش	مساحت پرش (cm <sup>2</sup> )	اختلاف نسبی (%)
۱	۳۷/۵۴	دایره	-	۹/۶۱	۱/۸۷
		چندضلعی	۴	۹/۴۳	
۲	۵۲/۴۸	دایره	-	۲۵/۳۲	۲/۶۹
		چندضلعی	۸	۲۴/۶۴	
۳	۶۴/۸۱	دایره	-	۳۲/۳۷	۳/۲۰
		چندضلعی	۱۱	۳۱/۳۴	
۴	۷۳/۹۱	دایره	-	۴۰/۶۵	۷/۴۷
		چندضلعی	۱۲	۳۷/۶۱	
۵	۸۳/۸۲	دایره	-	۴۶/۹۱	۱۰/۶۶
		چندضلعی	۱۳	۴۱/۹۱	

جدول (۳): مقایسه محیط چندضلعی های با مساحت برابر

چشم یا بیضی	شکل چندضلعی				
	مساحت چندضلعی ( $\text{mm}^2$ )	۱۰۰۰/۰۷۹			
	محیط چندضلعی (mm)	۱۴۵/۲۱۱			
سه ضلعی	شکل چندضلعی				
	مساحت چندضلعی ( $\text{mm}^2$ )	۱۰۰۰/۰۴۸	۱۰۰۰/۰۸۴	۱۰۰۰/۰۰۶	۱۰۰۰/۰۵۶
	محیط چندضلعی (mm)	۱۴۴/۱۷۲	۱۴۷/۴۱۶	۱۴۷/۵۱۲	۲۴۸/۳۹۲
چهار ضلعی	شکل چندضلعی				
	مساحت چندضلعی ( $\text{mm}^2$ )	۱۰۰۰/۰۷۶	۱۰۰۰/۰۷۵	۱۰۰۰/۰۲۳	۱۰۰۰/۰۷۸
	محیط چندضلعی (mm)	۱۲۶/۴۹۶	۱۲۹/۷۴۰	۱۴۸/۵۳۸	۲۱۹/۳۱۱
پنج ضلعی	شکل چندضلعی				
	مساحت چندضلعی ( $\text{mm}^2$ )	۱۰۰۰/۰۹۳	۱۰۰۰/۰۹۸	۱۰۰۰/۰۴۹	۱۰۰۰/۰۱۰
	محیط چندضلعی (mm)	۱۲۰/۵۰۰	۱۲۱/۷۸۳	۱۲۷/۵۸۰	۱۷۱/۷۴۳
دایره	شکل چندضلعی				
	مساحت چندضلعی ( $\text{mm}^2$ )	۱۰۰۰/۰۵۰			
	محیط چندضلعی (mm)	۱۱۲/۱۰۳			

در حضور اغتشاشات، پرش هیدرولیکی به شکل یک چندضلعی منتظم درمی آید. در دبی های کم (نیروی مومنتم کم)، شکل پرش به صورت بیضی یا چشم خواهد بود. با افزایش دبی که منجر به افزایش نیروی مومنتم نیز می شود، اندازه پرش رشد کرده و مساحت داخل و رویه آن بیشتر می شود. هم زمان نیروی کشش سطحی به عنوان یک نیروی مقاوم سعی در ایجاد گمترین مساحت رویه را دارد؛ بنابراین با اضافه کردن یک گوش و یک ضلع مساحت رویه را کاهش می دهد و شکل پرش، به یک مثلث تبدیل می شود؛ زیرا در این دبی، مساحت رویه برای پرش مثالی گمتر از مساحت رویه بیضی نهایی است. مجدداً با افزایش دبی، سطح داخل و رویه پرش افزایش می یابد تا اینکه مجدداً

اگر محیط پرش را نماینده مساحت رویه پرش در نظر بگیریم، جدول (۳) نشان می دهد که گمترین محیط چندضلعی (و بنابراین گمترین مساحت رویه پرش) در بین چندضلعی های با تعداد اضلاع و مساحت داخل برابر، مربوط به چندضلعی منتظم است. توجه به این نکته مهم است که در شکل گیری پرش هیدرولیکی چندضلعی، صفحه هدف باید کاملاً افقی و جت سیال باید کاملاً عمودی باشد. در این شرایط، همواره کشش سطحی سعی دارد تا پرش هیدرولیکی چندضلعی را به شکل منتظم درآورد.

با دقت در جدول (۳) همچنین می توان علت رفتار پرش های هیدرولیکی چندضلعی و شکل گیری محدوده پایداری که در شکل (۵) نشان داده شده را تفسیر کرد.

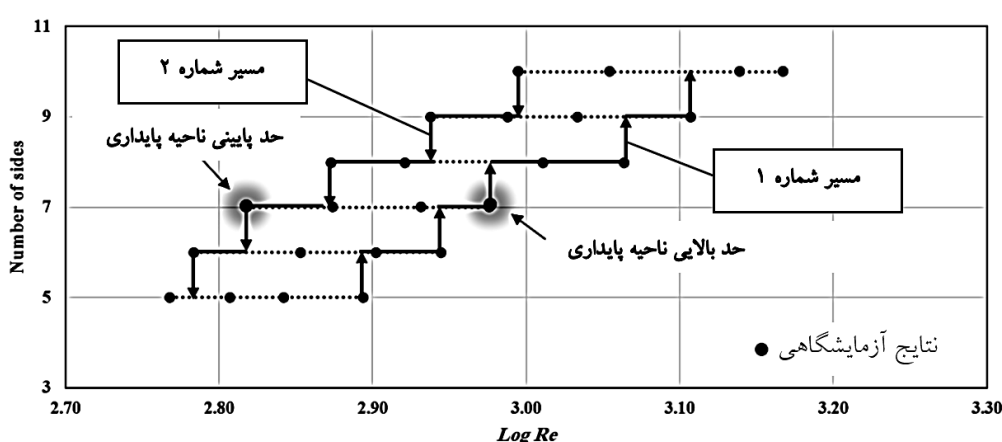
می‌شود. اگر از نیروهای اصطکاک و فشار هیدرواستاتیک صرف نظر کنیم، نیروی کشش سطحی و مومتم در هر لحظه با یکدیگر موازن می‌شوند. با کاهش دبی (کاهش نیروی مومتم) پرش هیدرولیکی کوچک می‌شود. به عنوان مثال اگر یک پرش ۹ ضلعی داشته باشیم، با کاهش دبی، اندازه پرش کوچک می‌شود. به طور هم‌زمان با کاهش نیروی مومتم، نیروی کشش سطحی نیز کاهش یافته و در یک لحظه سیال افزایش سطح رویه می‌دهد. این افزایش سطح رویه با کاهش یک ضلع و یک گوشه انجام می‌شود و پرش ۹ ضلعی به یک پرش ۸ ضلعی تبدیل می‌شود. در ادامه با کاهش دبی پرش ۸ ضلعی کوچک شده و نیروی کشش سطحی نیز کاهش می‌یابد تا اینکه در یک لحظه پرش ۸ ضلعی با کاهش یک ضلع و یک گوشه، به یک پرش ۷ ضلعی تبدیل می‌شود. این روند با کاهش دبی ادامه می‌یابد.

به این ترتیب و با دقت در شکل (۱۵) می‌توان دریافت که در یک رژیم پارامتری ثابت (به عنوان مثال  $\log Re=3$ ) می‌توان پرش‌های هیدرولیکی چندضلعی با تعداد ۹ و ۱۰ ضلع داشت. رژیم پارامتری ثابت به این معنی است که تمام پارامترهای حاکم بر آزمایش از جمله دبی حجمی، ارتفاع پایین دست، قطر جت، نوع سیال و... ثابت و بدون تغییر باشد.

کشش سطحی با اضافه کردن یک گوش و ضلع جدید، افزایش مساحت رویه را کاهش داده و پرش تبدیل به یک مربع می‌شود. به همین ترتیب با افزایش دبی، روند افزایش گوشها و اضلاع در پرش ادامه می‌یابد و در واقع کشش سطحی با اضافه کردن گوشها و اضلاع جدید در پرش، سعی می‌کند تا شکل پرش را به شکل یک پرش دایروی نزدیک کند و به کمترین مساحت رویه برسد؛ اما به دلیل حضور اغتشاشات، هیچ‌گاه این پرش به یک پرش دایروی پایدار تبدیل نخواهد شد. به این ترتیب حد بالای پایداری حاصل می‌شود (مسیر شماره یک در شکل (۱۵)).

همان‌طور که در شکل (۱۵) مشاهده می‌شود با افزایش  $\log Re$  پرش هیدرولیکی ۵ ضلعی پایدار خواهد بود تا اینکه بالاخره با افزایش یک ضلع و یک گوش به یک ۶ ضلعی تبدیل می‌شود. اکنون پرش ۶ ضلعی با افزایش ۱۰ پایدار خواهد بود تا اینکه بالاخره با افزایش یک ضلع و یک گوش به یک ۷ ضلعی تبدیل شود. روند افزایش گوش و ضلع به همین ترتیب ادامه خواهد داشت. این مشاهده تجربی با حل چندضلعی تئوری مرجع [۲۰] که برای اعداد موج بی‌بعد خیلی بزرگ تر از ۱۰، پرش چندضلعی به یک دایره همگرا می‌شود، مغایرت دارد.

مسیر شماره ۲ در شکل (۱۵) حد پایین پایداری را نشان می‌دهد که با کاهش دبی (کاهش مومتم) حاصل



شکل «۱۵»: نمودار پایداری پرش‌های هیدرولیکی چندضلعی ( $H_{obstacle}=0.22\text{cm}$  و  $2a=1.03\text{cm}$ )

شعاع های پرش کم وزیاد، بسیار خوب است؛ اما در شعاع های میانی، کمی اختلاف میان نتایج آزمایشگاهی و تئوری اصلاح شده واتسون به چشم می خورد. علت اختلاف میان نتایج آزمایشگاهی و تئوری اصلاح شده واتسون این است که در تئوری اصلاح شده واتسون اثر نوع ساختار پرش در نظر گرفته نشده است. تئوری اصلاح شده واتسون دقت بسیار خوبی برای پرش های دایروی نوع I دارد.

- کشش سطحی سیال سعی می کند تا کمترین مساحت رویه ممکن را در پرش ایجاد کند. چون کمترین مساحت رویه در بین چندضلعی های مختلف با تعداد اضلاع برابر مربوط به چندضلعی منتظم است، پرش هیدرولیکی چندضلعی به صورت مقارن و منتظم شکل می گیرد.

#### واژه‌نامه

Hydraulic jump	پرش هیدرولیکی
Polygonal jump	پرش چند ضلعی
Hysteresis	چند پایایی
Roller	غلتک
Corner	گوشه
Downstream obstacle	مانع پایین دست
Regular jump	پرش منتظم
Fixed parametric regime	رژیم پارامتری ثابت

#### نتیجه‌گیری

در این تحقیق یک مطالعه پدیده شناسی بر روی پرش های هیدرولیکی چندضلعی و علت شکل گیری آن انجام شد. علت شکل گیری پرش های چندضلعی به صورت منتظم، مورد بررسی قرار گرفت. همچنین نوع رفتار پرش های چندضلعی که با کاهش یا افزایش دبی به ترتیب به صورت کاهش یا افزایش تعداد اضلاع و گوشه های چندضلعی ظاهر می شود، مورد مطالعه قرار گرفت و نتایج زیر به دست آمد:

- نشان داده شد که علت واقعی پدیده پرش هیدرولیکی چندضلعی، حضور اغتشاشات و نوساناتی در جریان، محیط و یا سیستم دستگاه آزمایش است که بر اساس پدیده رایلی-پلاتو و در حضور کشش سطحی و لزحت منجر به ایجاد این پدیده می شود.
- برخلاف تحقیقات قبلی، با شناسایی و کاهش اغتشاشات جریان، محیط و سیستم، در شرایط فیزیکی و هندسی کار حاضر، پرش هیدرولیکی تا حدود عدد رینولدز  $4600$  به شکل دایروی و پایدار باقی می ماند.
- افزایش دبی جریان، باعث تقویت ناپایداری ها و در نتیجه ناپایداری پرش دایروی می شود.
- پرش های هیدرولیکی دایروی پایدار این تحقیق، همگی از نوع IIb هستند و مطابقت نسبتاً خوبی با تئوری اصلاح شده واتسون دارند. دقت نتایج در

#### مراجع

1. Avedisian, C. and Zhao, Z., "The circular hydraulic jump in low gravity", *Proceedings of the Royal Society of London A: Mathematical, Physical and Engineering Sciences*, The Royal Society, pp. 2127-2151, (2000).
2. Kate, R., Das, P. and Chakraborty, S., "An Investigation on non-circular hydraulic jumps formed due to obliquely impinging circular liquid jets", *Experimental Thermal and Fluid Science*, Vol. 32, pp. 1429-1439, (2008).
3. Rayleigh, L., "On the theory of long waves and bores", *Proceedings of the Royal Society of London. Series A, Containing Papers of a Mathematical and Physical Character*, pp. 324-328, (1914).
4. Birkhoff, G. and Zarantonello, E., "Jets, Wakes, and Cavities", Academic Press, New York, (1957).

5. Watson, E., "The radial spread of a liquid jet over a horizontal plane", *Journal of Fluid Mechanics*, Vol. 20, pp. 481-499, (1964).
6. Craik, A., Latham, R., Fawkes, M. and Gribbon, P., "The circular hydraulic jump", *Journal of Fluid Mechanics*, Vol. 112, pp. 347-362, (1981).
7. Errico, M., "A study of the interaction of liquid jets with solid surfaces", University of California, San Diego, (1986).
8. Liu, X. and Lienhard, J. H., "The hydraulic jump in circular jet impingement and in other thin liquid films", *Experiments in Fluids*, Vol. 15, pp. 108-116, (1993).
9. Higuera, F., "The hydraulic jump in a viscous laminar flow", *Journal of Fluid Mechanics*, Vol. 274, pp. 69-92, (1994).
10. Bush, J.W. and Aristoff, J.M., "The influence of surface tension on the circular hydraulic jump", *Journal of Fluid Mechanics*, Vol. 489, pp. 229-238, (2003).
11. Bush, J.W., Aristoff, J.M. and Hosoi, A., "An experimental investigation of the stability of the circular hydraulic jump", *Journal of Fluid Mechanics*, Vol. 558, pp. 33-52, (2006).
12. Yokoi, K. and Xiao, F., "A numerical study of the transition in the circular hydraulic jump", *Physics Letters A*, Vol. 257, pp. 153-157, (1999).
13. Yokoi, K. and Xiao, F., "Mechanism of structure formation in circular hydraulic jumps: Numerical studies of strongly deformed free-surface shallow flows", *Physica D: Nonlinear Phenomena*, Vol. 161, pp. 202-219, (2002).
14. Mikielewicz, J. and Mikielewicz, D., "A simple dissipation model of circular hydraulic jump", *International Journal of Heat and Mass Transfer*, Vol. 52, pp. 17-21, (2009).
15. Passandideh-Fard, M., Teymourash A. R. and Khavari, M., "Numerical study of circular hydraulic jump using Volume-of-fluid method", *Journal of Fluids Engineering*, Vol. 133, p. 011401, (2011).
16. Hirt, C. W. and Nichols, B. D. "Volume of fluid (VOF) method for the dynamics of free boundaries", *Journal of Computational Physics*, Vol. 39, pp. 201-225, (1981).
17. Ellegaard, C., Hansen, A. E., Haaning, A., Hansen, K., Marcusen, A., Bohr, T., Hansen, J. L. and Watanabe, S., "Cover illustration: Polygonal hydraulic jumps", *Nonlinearity*, Vol. 12, p. 1, (1999).
18. Teymourash, A.R. and Mokhlesi, M., "Experimental investigation of stationary and rotational structures in non-circular hydraulic jumps", *Journal of Fluid Mechanics*, Vol. 762, pp. 344-360, (2015).
19. Martens, E.A., Watanabe, S. and Bohr, T., "Model for polygonal hydraulic jumps", *Physical Review E*, Vol. 85, p. 036316, (2012).
20. Rojas, N. and Tirapegui, E., "Harmonic solutions for polygonal hydraulic jumps in thin fluid films", *Journal of Fluid Mechanics*, Vol. 780, pp. 99-119, (2015).
21. Rojas, N.O., Argentina, M., Cerda, E. and Tirapegui, E., "Inertial Lubrication Theory", *Physical Review Letters*, Vol. 104, p. 187801, (2010).
22. Ellegaard, C., Hansen, A.E., Haaning, A. and Bohr, T., "Experimental results on flow separation and transitions in the circular hydraulic jump", *Physica Scripta*, Vol. 105, (1996).
23. Kasimov, A.R., "A stationary circular hydraulic jump, the limits of its existence and its gasdynamic analogue", *Journal of Fluid Mechanics*, Vol. 601, pp. 189-198, (2008).
24. Plateau, J., "Statique Expe'imentale et The'orie des Liquides", Gauthier-Villars, Paris, (1873).
25. Rayleigh, L., "On the Instability of Jets", *Proceeding London Mathematical Society*, Vol. 10, pp. 4-13, (1878).
26. Javadi, A., Eggers, J., Bonn, D., Habibi, M. and Ribe, N.M., "Delayed Capillary Breakup of Falling Viscous Jets", *Physical Review Letters*, Vol. 110, pp. 144501-144504, (2013).
27. Shames, I.H., "Mechanics of Fluid", 4<sup>th</sup> Edition, McGraw-Hill, (2003).